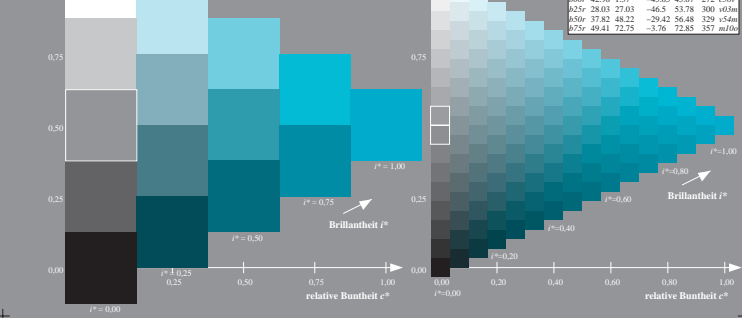
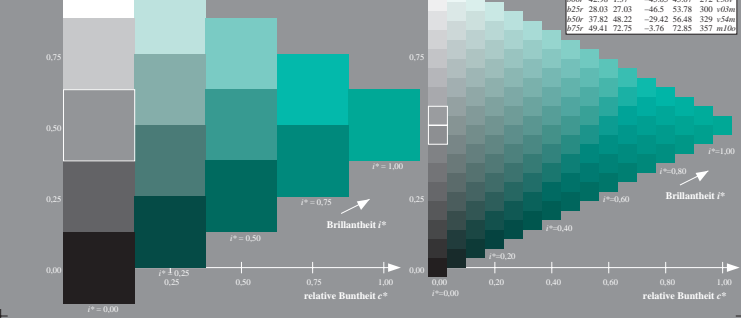
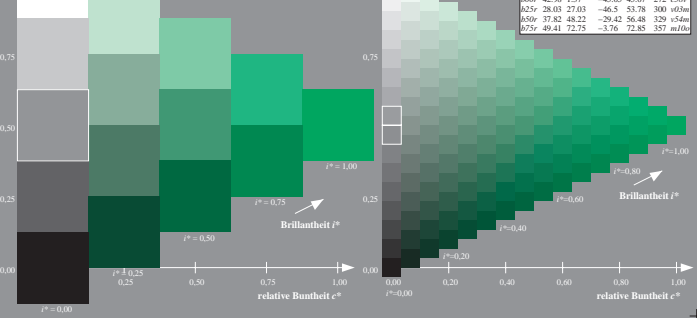


Ein und Ausgabe: Farbmetrisches Drucker-Reflexiv-System ORS22_96, L* = 22.96 für relativen CIELAB-Buntton $h^* = \text{lab}^*h^* = h_{96}/360 = 0.451$ $u^*_e = g50b$
 Daten für jede Farbe:
 lab^*a^* und lab^*b^*
 Bunttonstexte:
 $u^*_e = g50b$ $u^*_a = i12c$
 Kontrastreduzierungsfaktor:
 $c_R = 1.0$
 Dreiecks-Helligkeit l^*

Ein und Ausgabe: Farbmetrisches Drucker-Reflexiv-System ORS22_96, L* = 22.96 für relativen CIELAB-Buntton $h^* = \text{lab}^*h^* = h_{96}/360 = 0.527$ $u^*_e = g25b$
 Daten für jede Farbe:
 lab^*a^* und lab^*b^*
 Bunttonstexte:
 $u^*_e = g25b$ $u^*_a = i45c$
 Kontrastreduzierungsfaktor:
 $c_R = 1.0$
 Dreiecks-Helligkeit l^*

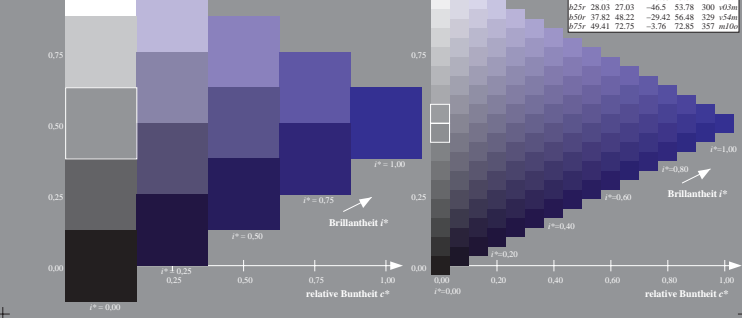
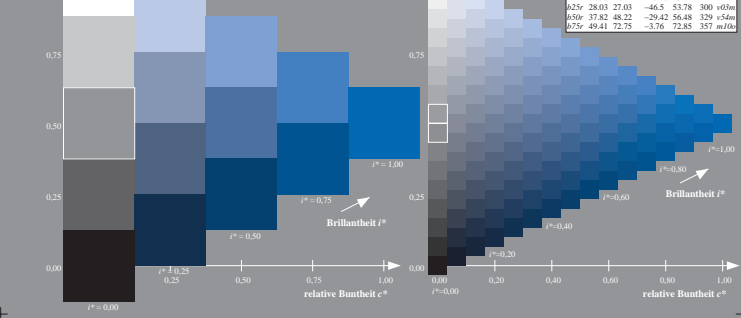
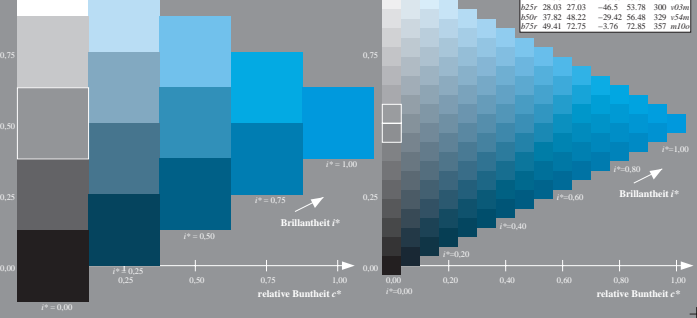
Ein und Ausgabe: Farbmetrisches Drucker-Reflexiv-System ORS22_96, L* = 22.96 für relativen CIELAB-Buntton $h^* = \text{lab}^*h^* = h_{96}/360 = 0.603$ $u^*_e = g50b$
 Daten für jede Farbe:
 lab^*a^* und lab^*b^*
 Bunttonstexte:
 $u^*_e = g50b$ $u^*_a = i77c$
 Kontrastreduzierungsfaktor:
 $c_R = 1.0$
 Dreiecks-Helligkeit l^*



Ein und Ausgabe: Farbmetrisches Drucker-Reflexiv-System ORS22_96, L* = 22.96 für relativen CIELAB-Buntton $h^* = \text{lab}^*h^* = h_{96}/360 = 0.679$ $u^*_e = g75b$
 Daten für jede Farbe:
 lab^*a^* und lab^*b^*
 Bunttonstexte:
 $u^*_e = g75b$ $u^*_a = e10f$
 Kontrastreduzierungsfaktor:
 $c_R = 1.0$
 Dreiecks-Helligkeit l^*

Ein und Ausgabe: Farbmetrisches Drucker-Reflexiv-System ORS22_96, L* = 22.96 für relativen CIELAB-Buntton $h^* = \text{lab}^*h^* = h_{96}/360 = 0.755$ $u^*_e = g00r$
 Daten für jede Farbe:
 lab^*a^* und lab^*b^*
 Bunttonstexte:
 $u^*_e = g00r$ $u^*_a = e50r$
 Kontrastreduzierungsfaktor:
 $c_R = 1.0$
 Dreiecks-Helligkeit l^*

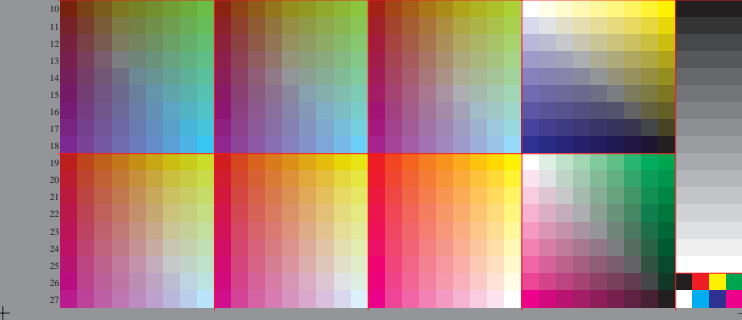
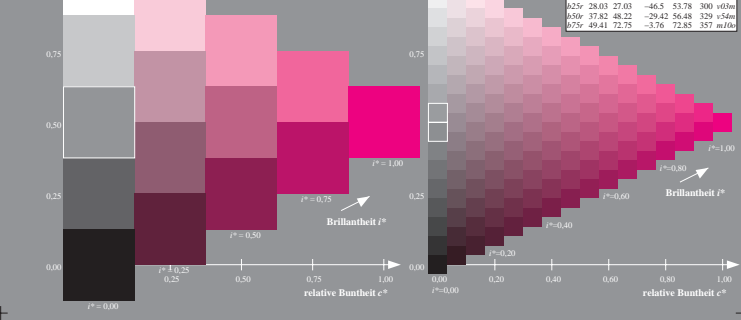
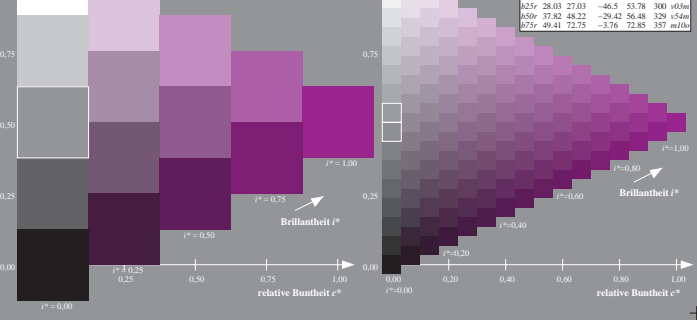
Ein und Ausgabe: Farbmetrisches Drucker-Reflexiv-System ORS22_96, L* = 22.96 für relativen CIELAB-Buntton $h^* = \text{lab}^*h^* = h_{96}/360 = 0.834$ $u^*_e = g25r$
 Daten für jede Farbe:
 lab^*a^* und lab^*b^*
 Bunttonstexte:
 $u^*_e = g25r$ $u^*_a = e10m$
 Kontrastreduzierungsfaktor:
 $c_R = 1.0$
 Dreiecks-Helligkeit l^*

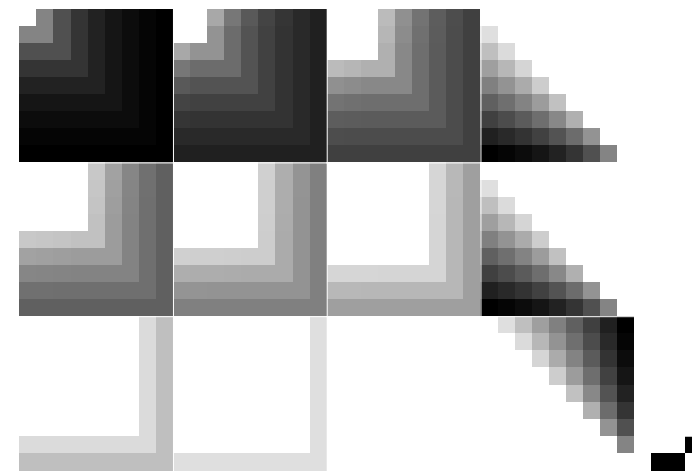
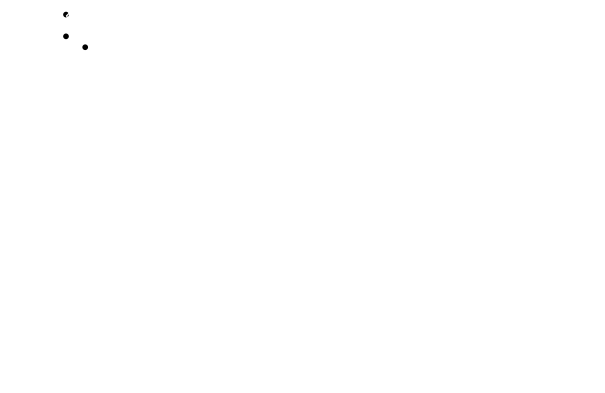
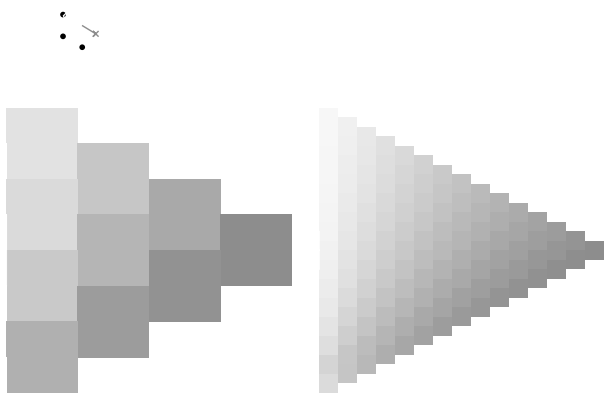
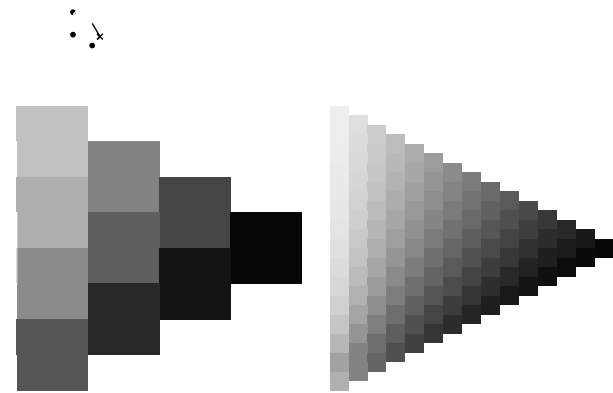
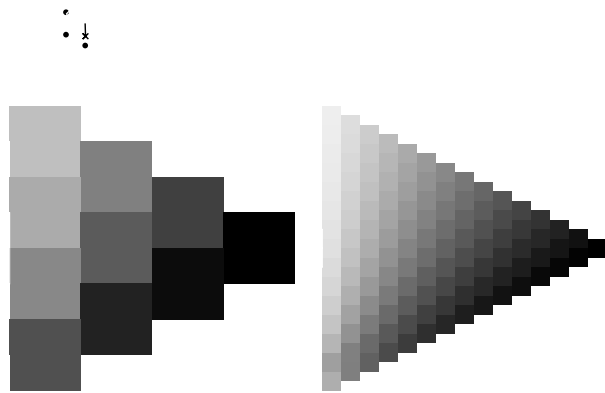
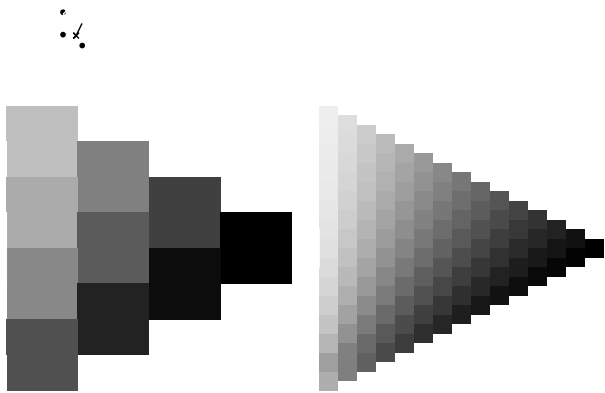
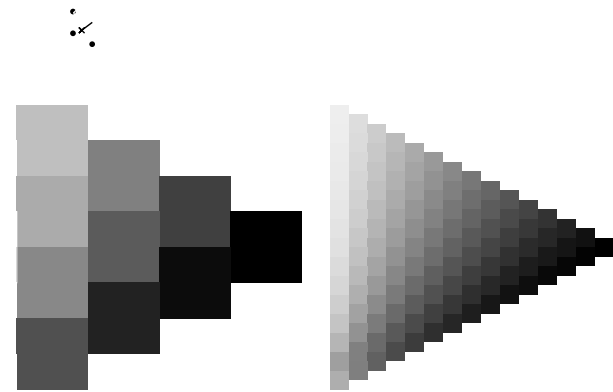
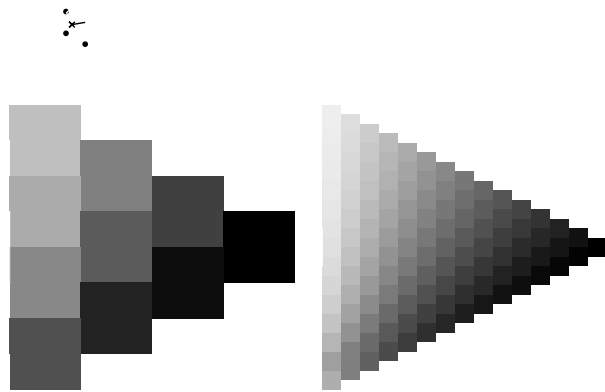
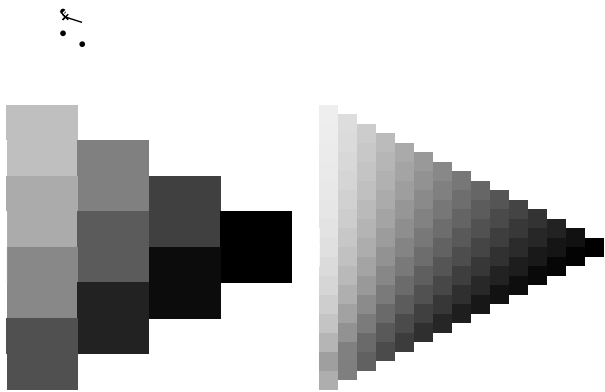


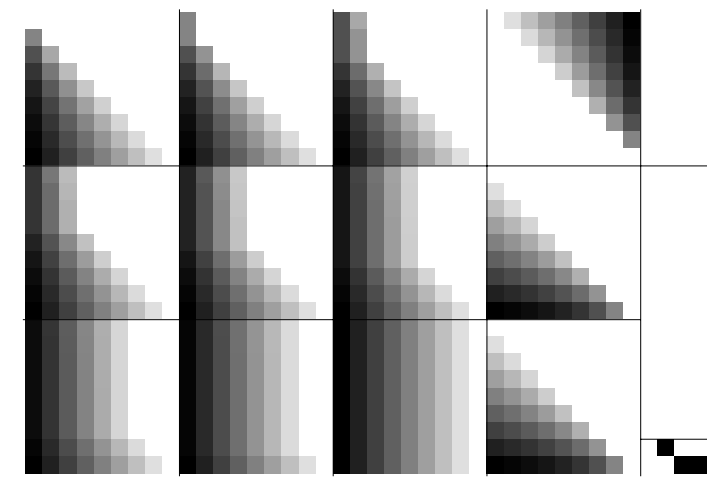
Ein und Ausgabe: Farbmetrisches Drucker-Reflexiv-System ORS22_96, L* = 22.96 für relativen CIELAB-Buntton $h^* = \text{lab}^*h^* = h_{96}/360 = 0.913$ $u^*_e = g50r$
 Daten für jede Farbe:
 lab^*a^* und lab^*b^*
 Bunttonstexte:
 $u^*_e = g50r$ $u^*_a = e54m$
 Kontrastreduzierungsfaktor:
 $c_R = 1.0$
 Dreiecks-Helligkeit l^*

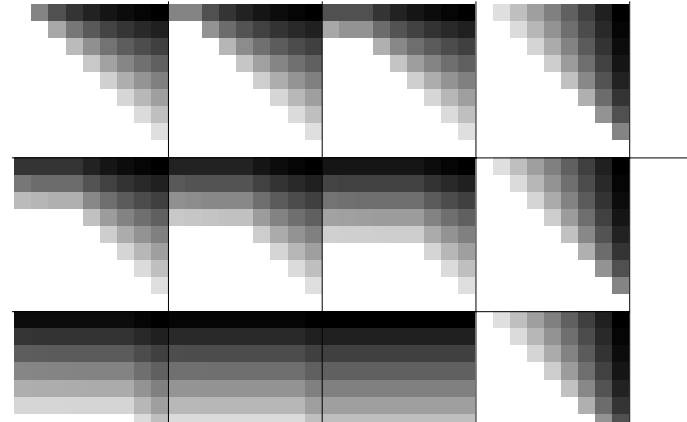
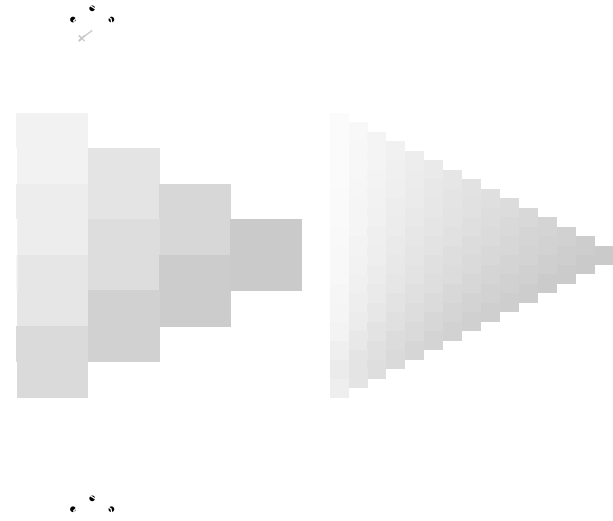
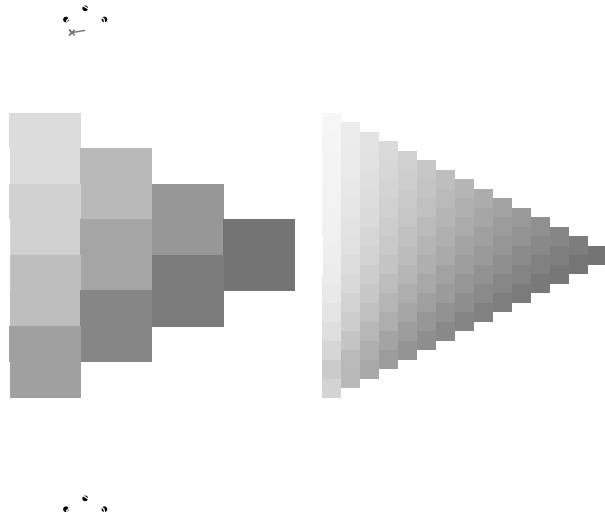
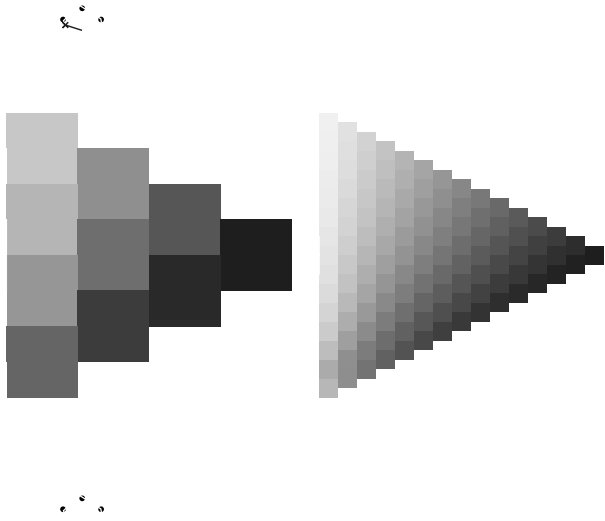
Ein und Ausgabe: Farbmetrisches Drucker-Reflexiv-System ORS22_96, L* = 22.96 für relativen CIELAB-Buntton $h^* = \text{lab}^*h^* = h_{96}/360 = 0.992$ $u^*_e = g75r$
 Daten für jede Farbe:
 lab^*a^* und lab^*b^*
 Bunttonstexte:
 $u^*_e = g75r$ $u^*_a = m10p$
 Kontrastreduzierungsfaktor:
 $c_R = 1.0$
 Dreiecks-Helligkeit l^*

Ein und Ausgabe: Farbmetrisches Drucker-Reflexiv-System ORS22_96, L* = 22.96 für relativen CIELAB-Buntton $h^* = \text{lab}^*h^* = h_{96}/360 = 1.063$ $u^*_e = g00r$
 Daten für jede Farbe:
 lab^*a^* und lab^*b^*
 Bunttonstexte:
 $u^*_e = g00r$ $u^*_a = m10p$
 Kontrastreduzierungsfaktor:
 $c_R = 1.0$
 Dreiecks-Helligkeit l^*









Ein und Ausgabe: Farbmetrisches Drucker-Reflexiv-System ORS22_96, L* = 22.96 für relativen CIELAB-Buntton $h^* = lab^*h^* = h_{30}/360 = 0.451$ $u^*_e = g50b$

Daten für jede Farbe:
 lab^*ich^* und lab^*icu^*
 Bunttonstexte:
 $u^*_e = g50b$ $u^*_d = IL2c$
 Kontrastreduzierungsfaktor:
 $c_R = 1.0$
 Dreiecks-Helligkeit I^*

Daten für Maximalfarbe (Ma):
 $LAB^*LAB^*_{Ma}$: 57 61 162
 $LAB^*LCH^*_{Ma}$: 57 61 162
 $lab^*rgb^*_{Ma}$: 0.0 1.0 0.0
 $lab^*oh^*_{Ma}$: 0.0 1.0 0.12
 Dreiecks-Helligkeit I^*

ORS22_96a adaptierte CIELAB-Daten
 L^* a^* b^* C_{ab} h_{ab} u^*_a u^*_b
 Ma: 48.89 66.19 40.28 77.48 31
 Ma: 90.26 -9.62 88.21 88.73 96
 Ma: 55.82 -65.29 33.87 73.56 153
 Ma: 63.03 -30.53 -42.04 51.96 234
 Ma: 27.53 23.95 -47.37 54.01 299
 Ma: 49.52 73.53 -9.02 74.08 353
 Ma: 22.01 0.0 0.0 0.0 0
 Ma: 96.24 0.0 0.0 0.0 0
 Ma: 39.02 58.74 27.99 65.07 25
 Ma: 81.26 -2.89 71.56 71.62 92
 Ma: 52.23 -42.42 13.6 44.55 162
 Ma: 30.57 1.41 -46.47 46.49 272

Dreiecks-Helligkeit I^*
 %Umfang
 $u^*_i = 87$
 %Regelmäßigkeit
 $u^*_i = 67$
 $u^*_i = 59$

Ein und Ausgabe: Farbmetrisches Drucker-Reflexiv-System ORS22_96, L* = 22.96 für relativen CIELAB-Buntton $h^* = lab^*h^* = h_{30}/360 = 0.527$ $u^*_e = g25b$

Daten für jede Farbe:
 lab^*ich^* und lab^*icu^*
 Bunttonstexte:
 $u^*_e = g25b$ $u^*_d = IL5c$
 Kontrastreduzierungsfaktor:
 $c_R = 1.0$
 Dreiecks-Helligkeit I^*

Daten für Maximalfarbe (Ma):
 $LAB^*LAB^*_{Ma}$: 60 46 5
 $LAB^*LCH^*_{Ma}$: 60 46 5
 $lab^*rgb^*_{Ma}$: 0.0 1.0 0.45
 $lab^*oh^*_{Ma}$: 0.0 1.0 0.45
 Dreiecks-Helligkeit I^*

ORS22_96a adaptierte CIELAB-Daten
 L^* a^* b^* C_{ab} h_{ab} u^*_a u^*_b
 Ma: 48.89 66.19 40.28 77.48 31
 Ma: 90.26 -9.62 88.21 88.73 96
 Ma: 55.82 -65.29 33.87 73.56 153
 Ma: 63.03 -30.53 -42.04 51.96 234
 Ma: 27.53 23.95 -47.37 54.01 299
 Ma: 49.52 73.53 -9.02 74.08 353
 Ma: 22.01 0.0 0.0 0.0 0
 Ma: 96.24 0.0 0.0 0.0 0
 Ma: 39.02 58.74 27.99 65.07 25
 Ma: 81.26 -2.89 71.56 71.62 92
 Ma: 52.23 -42.42 13.6 44.55 162
 Ma: 30.57 1.41 -46.47 46.49 272

Dreiecks-Helligkeit I^*
 %Umfang
 $u^*_i = 87$
 %Regelmäßigkeit
 $u^*_i = 67$
 $u^*_i = 59$

Ein und Ausgabe: Farbmetrisches Drucker-Reflexiv-System ORS22_96, L* = 22.96 für relativen CIELAB-Buntton $h^* = lab^*h^* = h_{30}/360 = 0.603$ $u^*_e = g50b$

Daten für jede Farbe:
 lab^*ich^* und lab^*icu^*
 Bunttonstexte:
 $u^*_e = g50b$ $u^*_d = IL7c$
 Kontrastreduzierungsfaktor:
 $c_R = 1.0$
 Dreiecks-Helligkeit I^*

Daten für Maximalfarbe (Ma):
 $LAB^*LAB^*_{Ma}$: 62 37 28
 $LAB^*LCH^*_{Ma}$: 62 37 28
 $lab^*rgb^*_{Ma}$: 0.0 1.0 0.79
 $lab^*oh^*_{Ma}$: 0.0 1.0 0.79
 Dreiecks-Helligkeit I^*

ORS22_96a adaptierte CIELAB-Daten
 L^* a^* b^* C_{ab} h_{ab} u^*_a u^*_b
 Ma: 48.89 66.19 40.28 77.48 31
 Ma: 90.26 -9.62 88.21 88.73 96
 Ma: 55.82 -65.29 33.87 73.56 153
 Ma: 63.03 -30.53 -42.04 51.96 234
 Ma: 27.53 23.95 -47.37 54.01 299
 Ma: 49.52 73.53 -9.02 74.08 353
 Ma: 22.01 0.0 0.0 0.0 0
 Ma: 96.24 0.0 0.0 0.0 0
 Ma: 39.02 58.74 27.99 65.07 25
 Ma: 81.26 -2.89 71.56 71.62 92
 Ma: 52.23 -42.42 13.6 44.55 162
 Ma: 30.57 1.41 -46.47 46.49 272

Dreiecks-Helligkeit I^*
 %Umfang
 $u^*_i = 87$
 %Regelmäßigkeit
 $u^*_i = 67$
 $u^*_i = 59$

Ein und Ausgabe: Farbmetrisches Drucker-Reflexiv-System ORS22_96, L* = 22.96 für relativen CIELAB-Buntton $h^* = lab^*h^* = h_{30}/360 = 0.679$ $u^*_e = g75b$

Daten für jede Farbe:
 lab^*ich^* und lab^*icu^*
 Bunttonstexte:
 $u^*_e = g75b$ $u^*_d = IL9c$
 Kontrastreduzierungsfaktor:
 $c_R = 1.0$
 Dreiecks-Helligkeit I^*

Daten für Maximalfarbe (Ma):
 $LAB^*LAB^*_{Ma}$: 57 48 244
 $LAB^*LCH^*_{Ma}$: 57 48 244
 $lab^*rgb^*_{Ma}$: 0.0 0.5 1.0
 $lab^*oh^*_{Ma}$: 0.0 0.84 1.0
 Dreiecks-Helligkeit I^*

ORS22_96a adaptierte CIELAB-Daten
 L^* a^* b^* C_{ab} h_{ab} u^*_a u^*_b
 Ma: 48.89 66.19 40.28 77.48 31
 Ma: 90.26 -9.62 88.21 88.73 96
 Ma: 55.82 -65.29 33.87 73.56 153
 Ma: 63.03 -30.53 -42.04 51.96 234
 Ma: 27.53 23.95 -47.37 54.01 299
 Ma: 49.52 73.53 -9.02 74.08 353
 Ma: 22.01 0.0 0.0 0.0 0
 Ma: 96.24 0.0 0.0 0.0 0
 Ma: 39.02 58.74 27.99 65.07 25
 Ma: 81.26 -2.89 71.56 71.62 92
 Ma: 52.23 -42.42 13.6 44.55 162
 Ma: 30.57 1.41 -46.47 46.49 272

Dreiecks-Helligkeit I^*
 %Umfang
 $u^*_i = 87$
 %Regelmäßigkeit
 $u^*_i = 67$
 $u^*_i = 59$

Ein und Ausgabe: Farbmetrisches Drucker-Reflexiv-System ORS22_96, L* = 22.96 für relativen CIELAB-Buntton $h^* = lab^*h^* = h_{30}/360 = 0.755$ $u^*_e = g00b$

Daten für jede Farbe:
 lab^*ich^* und lab^*icu^*
 Bunttonstexte:
 $u^*_e = g00b$ $u^*_d = IL10c$
 Kontrastreduzierungsfaktor:
 $c_R = 1.0$
 Dreiecks-Helligkeit I^*

Daten für Maximalfarbe (Ma):
 $LAB^*LAB^*_{Ma}$: 43 1 45
 $LAB^*LCH^*_{Ma}$: 43 1 45
 $lab^*rgb^*_{Ma}$: 0.0 0.42 1.0
 $lab^*oh^*_{Ma}$: 0.0 0.42 1.0
 Dreiecks-Helligkeit I^*

ORS22_96a adaptierte CIELAB-Daten
 L^* a^* b^* C_{ab} h_{ab} u^*_a u^*_b
 Ma: 48.89 66.19 40.28 77.48 31
 Ma: 90.26 -9.62 88.21 88.73 96
 Ma: 55.82 -65.29 33.87 73.56 153
 Ma: 63.03 -30.53 -42.04 51.96 234
 Ma: 27.53 23.95 -47.37 54.01 299
 Ma: 49.52 73.53 -9.02 74.08 353
 Ma: 22.01 0.0 0.0 0.0 0
 Ma: 96.24 0.0 0.0 0.0 0
 Ma: 39.02 58.74 27.99 65.07 25
 Ma: 81.26 -2.89 71.56 71.62 92
 Ma: 52.23 -42.42 13.6 44.55 162
 Ma: 30.57 1.41 -46.47 46.49 272

Dreiecks-Helligkeit I^*
 %Umfang
 $u^*_i = 87$
 %Regelmäßigkeit
 $u^*_i = 67$
 $u^*_i = 59$

Ein und Ausgabe: Farbmetrisches Drucker-Reflexiv-System ORS22_96, L* = 22.96 für relativen CIELAB-Buntton $h^* = lab^*h^* = h_{30}/360 = 0.834$ $u^*_e = g25r$

Daten für jede Farbe:
 lab^*ich^* und lab^*icu^*
 Bunttonstexte:
 $u^*_e = g25r$ $u^*_d = IL10m$
 Kontrastreduzierungsfaktor:
 $c_R = 1.0$
 Dreiecks-Helligkeit I^*

Daten für Maximalfarbe (Ma):
 $LAB^*LAB^*_{Ma}$: 28 27 46
 $LAB^*LCH^*_{Ma}$: 28 27 46
 $lab^*rgb^*_{Ma}$: 0.5 0.0 1.0
 $lab^*oh^*_{Ma}$: 0.0 0.3 1.0
 Dreiecks-Helligkeit I^*

ORS22_96a adaptierte CIELAB-Daten
 L^* a^* b^* C_{ab} h_{ab} u^*_a u^*_b
 Ma: 48.89 66.19 40.28 77.48 31
 Ma: 90.26 -9.62 88.21 88.73 96
 Ma: 55.82 -65.29 33.87 73.56 153
 Ma: 63.03 -30.53 -42.04 51.96 234
 Ma: 27.53 23.95 -47.37 54.01 299
 Ma: 49.52 73.53 -9.02 74.08 353
 Ma: 22.01 0.0 0.0 0.0 0
 Ma: 96.24 0.0 0.0 0.0 0
 Ma: 39.02 58.74 27.99 65.07 25
 Ma: 81.26 -2.89 71.56 71.62 92
 Ma: 52.23 -42.42 13.6 44.55 162
 Ma: 30.57 1.41 -46.47 46.49 272

Dreiecks-Helligkeit I^*
 %Umfang
 $u^*_i = 87$
 %Regelmäßigkeit
 $u^*_i = 67$
 $u^*_i = 59$

